



Structural Behaviors of Super HISLEND-H

要旨

スーパーハイスレンドHの製造実績に基づく機械的性質のばらつきを考慮したH形鋼の面内弾塑性挙動解析より、スーパーハイスレ





Fig. 2 Loading condition

対象も限られているため、本結果から直ちにスーパーハイスレンドHが十分な塑性変形能力を有しているとは言えないが、実際に使用される軸力比0.4以下の領域では塑性変形倍率は8以上となっており、実用上問題はないと考えられる。

### 3 鉛直スチフナ形式SRC柱-Sはり接合部の力学

とおりであり、軸力比 ( $p$ ) は0, 0.2, 0.4 および0.6の4種類とした。

解析では、まず、各軸力比に対するモーメント-曲率関係を求め

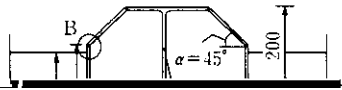
#### 的挙動

##### 3.1 研究目的

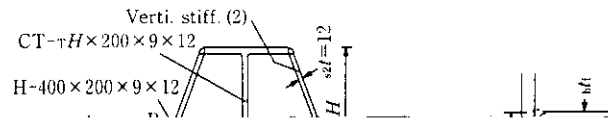
げモーメントが漸増すると仮定する。なお、残留応力は無視する。  
次に、このモーメント-曲率関係を田代CNC法 (column defl.

部の補強には通常水平スチフナが用いられる。しかし、水平スチフナ形式では、この大撓曲の問題が、その結果として

(a) B-series



(b) C-series



(1) 崩壊機構 (T)

鉛直スチフナの降伏形が引張降伏形の場合に適用する。この場合、崩壊機構は森田らの示すものと同一であり、接合部耐力



Table 1. Comparison of experimental and analytical results.

Specimen	Experimental	Analytical	$n/n_e$
SH-1	1.00	1.00	1.00
SH-2	1.00	1.00	1.00
SH-3	1.00	1.00	1.00
SH-4	1.00	1.00	1.00
SH-5	1.00	1.00	1.00
SH-6	1.00	1.00	1.00
SH-7	1.00	1.00	1.00
SH-8	1.00	1.00	1.00
SH-9	1.00	1.00	1.00
SH-10	1.00	1.00	1.00
SH-11	1.00	1.00	1.00
SH-12	1.00	1.00	1.00
SH-13	1.00	1.00	1.00
SH-14	1.00	1.00	1.00
SH-15	1.00	1.00	1.00
SH-16	1.00	1.00	1.00
SH-17	1.00	1.00	1.00
SH-18	1.00	1.00	1.00
SH-19	1.00	1.00	1.00
SH-20	1.00	1.00	1.00
SH-21	1.00	1.00	1.00
SH-22	1.00	1.00	1.00
SH-23	1.00	1.00	1.00
SH-24	1.00	1.00	1.00
SH-25	1.00	1.00	1.00
SH-26	1.00	1.00	1.00
SH-27	1.00	1.00	1.00
SH-28	1.00	1.00	1.00
SH-29	1.00	1.00	1.00
SH-30	1.00	1.00	1.00
SH-31	1.00	1.00	1.00
SH-32	1.00	1.00	1.00
SH-33	1.00	1.00	1.00
SH-34	1.00	1.00	1.00
SH-35	1.00	1.00	1.00
SH-36	1.00	1.00	1.00
SH-37	1.00	1.00	1.00
SH-38	1.00	1.00	1.00
SH-39	1.00	1.00	1.00
SH-40	1.00	1.00	1.00
SH-41	1.00	1.00	1.00
SH-42	1.00	1.00	1.00
SH-43	1.00	1.00	1.00
SH-44	1.00	1.00	1.00
SH-45	1.00	1.00	1.00
SH-46	1.00	1.00	1.00
SH-47	1.00	1.00	1.00
SH-48	1.00	1.00	1.00
SH-49	1.00	1.00	1.00
SH-50	1.00	1.00	1.00